

Starkniederschlagshöhen und -spenden gemäß KOSTRA-DWD-2010R

Auswertungszeitraum von 1951 - 2010, Januar - Dezember

Rasterfeld: 90060

Zeile: 90

Spalte: 60

Seite: 1/2

| Dauerstufe D | Wiederkehrzeit T | | | | | | | | | | | | | | | | | | |
|--------------|------------------|------|------------|------|------------|------|------------|-------|------------|-------|------------|-------|------------|-------|------------|-------|------------|-------|------------|
| | 1 a | | 2 a | | 3 a | | 5 a | | 10 a | | 20 a | | 30 a | | 50 a | | 100 a | | |
| min | Std | mm | l / (s ha) | mm | l / (s ha) | mm | l / (s ha) | mm | l / (s ha) | mm | l / (s ha) | mm | l / (s ha) | mm | l / (s ha) | mm | l / (s ha) | mm | l / (s ha) |
| 5 | | 5,6 | 186,7 | 8,0 | 266,7 | 9,4 | 313,3 | 11,1 | 370,0 | 13,5 | 450,0 | 15,9 | 530,0 | 17,2 | 573,3 | 19,0 | 633,3 | 21,4 | 713,3 |
| 10 | | 9,0 | 150,0 | 11,9 | 198,3 | 13,6 | 226,7 | 15,8 | 263,3 | 18,8 | 313,3 | 21,7 | 361,7 | 23,4 | 390,0 | 25,6 | 426,7 | 28,5 | 475,0 |
| 15 | | 11,2 | 124,4 | 14,5 | 161,1 | 16,5 | 183,3 | 19,0 | 211,1 | 22,3 | 247,8 | 25,6 | 284,4 | 27,6 | 306,7 | 30,1 | 334,4 | 33,4 | 371,1 |
| 20 | | 12,8 | 106,7 | 16,4 | 136,7 | 18,6 | 155,0 | 21,3 | 177,5 | 24,9 | 207,5 | 28,6 | 238,3 | 30,7 | 255,8 | 33,4 | 278,3 | 37,1 | 309,2 |
| 30 | | 14,9 | 82,8 | 19,0 | 105,6 | 21,5 | 119,4 | 24,5 | 136,1 | 28,7 | 159,4 | 32,8 | 182,2 | 35,3 | 196,1 | 38,3 | 212,8 | 42,5 | 236,1 |
| 45 | | 16,7 | 61,9 | 21,4 | 79,3 | 24,2 | 89,6 | 27,7 | 102,6 | 32,4 | 120,0 | 37,1 | 137,4 | 39,9 | 147,8 | 43,3 | 160,4 | 48,0 | 177,8 |
| 60 | | 17,8 | 49,4 | 23,0 | 63,9 | 26,0 | 72,2 | 29,8 | 82,8 | 35,0 | 97,2 | 40,1 | 111,4 | 43,1 | 119,7 | 46,9 | 130,3 | 52,1 | 144,7 |
| 90 | | 20,0 | 37,0 | 25,7 | 47,6 | 29,0 | 53,7 | 33,2 | 61,5 | 38,9 | 72,0 | 44,6 | 82,6 | 47,9 | 88,7 | 52,1 | 96,5 | 57,8 | 107,0 |
| 120 | 2 | 21,7 | 30,1 | 27,8 | 38,6 | 31,4 | 43,6 | 35,9 | 49,9 | 41,9 | 58,2 | 48,0 | 66,7 | 51,6 | 71,7 | 56,1 | 77,9 | 62,2 | 86,4 |
| 180 | 3 | 24,4 | 22,6 | 31,1 | 28,8 | 35,0 | 32,4 | 40,0 | 37,0 | 46,7 | 43,2 | 53,4 | 49,4 | 57,3 | 53,1 | 62,2 | 57,6 | 69,0 | 63,9 |
| 240 | 4 | 26,5 | 18,4 | 33,7 | 23,4 | 37,9 | 26,3 | 43,2 | 30,0 | 50,4 | 35,0 | 57,5 | 39,9 | 61,7 | 42,8 | 67,0 | 46,5 | 74,2 | 51,5 |
| 360 | 6 | 29,8 | 13,8 | 37,7 | 17,5 | 42,3 | 19,6 | 48,1 | 22,3 | 56,0 | 25,9 | 63,9 | 29,6 | 68,6 | 31,8 | 74,4 | 34,4 | 82,3 | 38,1 |
| 540 | 9 | 33,4 | 10,3 | 42,1 | 13,0 | 47,2 | 14,6 | 53,7 | 16,6 | 62,4 | 19,3 | 71,1 | 21,9 | 76,2 | 23,5 | 82,6 | 25,5 | 91,3 | 28,2 |
| 720 | 12 | 36,3 | 8,4 | 45,6 | 10,6 | 51,1 | 11,8 | 58,0 | 13,4 | 67,3 | 15,6 | 76,6 | 17,7 | 82,1 | 19,0 | 89,0 | 20,6 | 98,3 | 22,8 |
| 1080 | 18 | 40,8 | 6,3 | 51,1 | 7,9 | 57,1 | 8,8 | 64,6 | 10,0 | 74,9 | 11,6 | 85,2 | 13,1 | 91,2 | 14,1 | 98,8 | 15,2 | 109,1 | 16,8 |
| 1440 | 24 | 44,3 | 5,1 | 55,3 | 6,4 | 61,7 | 7,1 | 69,8 | 8,1 | 80,8 | 9,4 | 91,9 | 10,6 | 98,3 | 11,4 | 106,4 | 12,3 | 117,4 | 13,6 |
| 2880 | 48 | 56,0 | 3,2 | 71,1 | 4,1 | 79,9 | 4,6 | 90,9 | 5,3 | 106,0 | 6,1 | 121,0 | 7,0 | 129,8 | 7,5 | 140,9 | 8,2 | 155,9 | 9,0 |
| 4320 | 72 | 64,3 | 2,5 | 81,7 | 3,2 | 91,9 | 3,5 | 104,7 | 4,0 | 122,1 | 4,7 | 139,4 | 5,4 | 149,6 | 5,8 | 162,4 | 6,3 | 179,8 | 6,9 |

Angaben in mm: Bemessungsniederschlagswerte h(n)

Angaben in l / (s ha): Regenspende R(n) mit $R(n) = h(n) \times 1,666667 / D[\text{min}]$

Toleranzbereiche:

+/- 10 % für $1 \text{ a} \leq T \leq 5 \text{ a}$

+/- 15 % für $5 \text{ a} < T \leq 50 \text{ a}$

+/- 20 % für $50 \text{ a} < T \leq 100 \text{ a}$

Datenbasis: KOSTRA-DWD-2010R des Deutschen Wetterdienstes. Die Regenspende wurde auf Basis des Bemessungsniederschlags zur jeweiligen Andauer berechnet.

Für die Richtigkeit und Aktualität der Angaben wird keine Gewähr übernommen. Erstellt 07/2022.

Starkniederschlagshöhen und -spenden gemäß KOSTRA-DWD-2010R

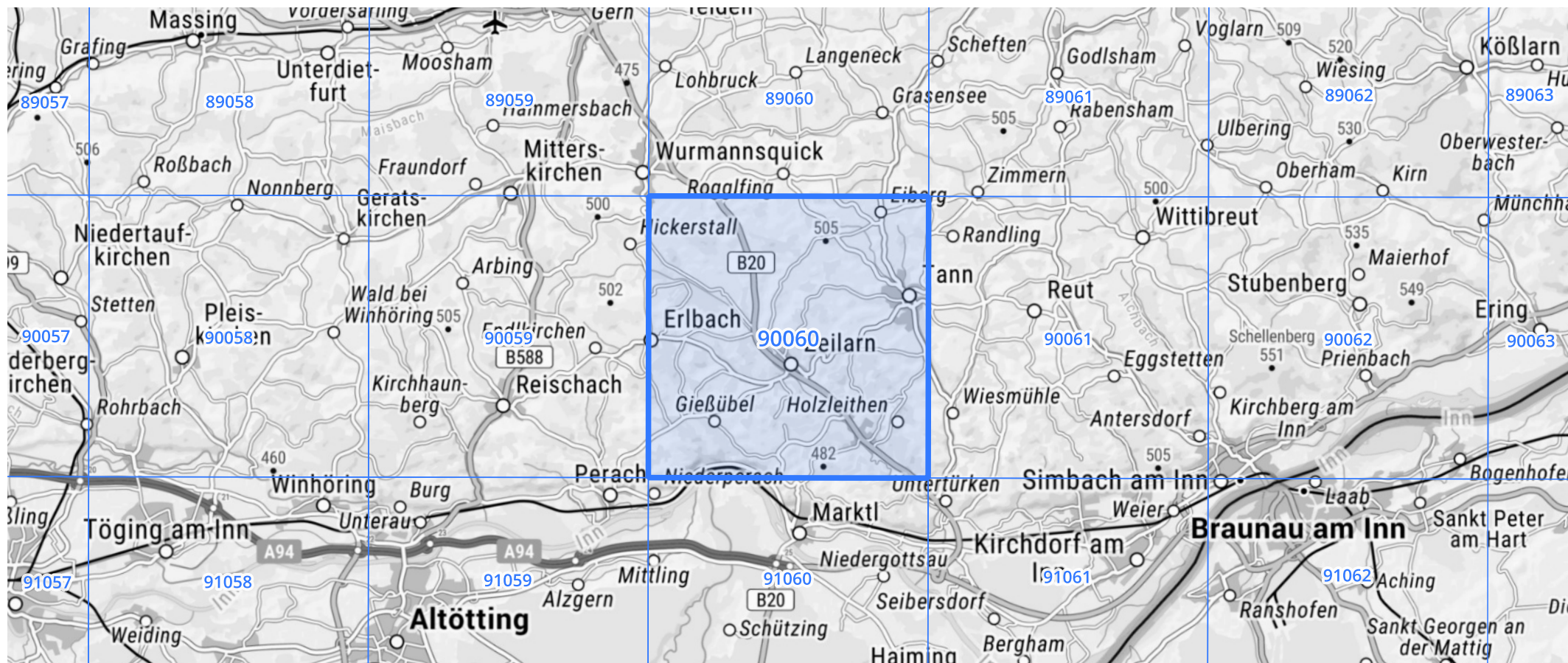
Auswertungszeitraum von 1951 - 2010, Januar - Dezember

Rasterfeld: 90060

Zeile: 90

Spalte: 60

Seite: 2/2



Quelle Rasterdaten: KOSTRA-DWD-2010R des Deutschen Wetterdienstes.

Kartendarstellung: © Bundesamt für Kartographie und Geodäsie (2022), Datenquellen: https://sgx.geodatenzentrum.de/web_public/gdz/datenquellen/Datenquellen_TopPlusOpen.html

Für die Richtigkeit und Aktualität der Angaben wird keine Gewähr übernommen. Erstellt 07/2022.